

УДК 539.3:621.891

© 2000 г. М.Я. ПАНОВКО

**ВЛИЯНИЕ ОДИНОЧНЫХ НЕРОВНОСТЕЙ  
 ДВИЖУЩЕЙСЯ ПОВЕРХНОСТИ  
 НА УПРУГОГИДРОДИНАМИЧЕСКИЙ ТОЧЕЧНЫЙ КОНТАКТ**

Поверхности смазанных сосредоточенных контактов различных узлов трения (например, подшипников качения и зубчатых передач) на практике не являются идеально гладкими. Влияние топографии поверхности на характеристики контакта и соответственно надежность функционирования технического устройства в значительной степени определяется соотношением между минимальной толщиной смазочной пленки и высотой неровностей на поверхности. К настоящему времени проведен ряд экспериментальных и численных исследований (см. например, [1–13]), проясняющих роль неровностей, соизмеримых по высоте с минимальной толщиной пленки, в упругогидродинамических (УГД) сосредоточенных контактах. В этих работах акцент был сделан на изучении особенностей распределения давления и толщины пленки в зоне контакта при наличии на поверхности как одиночной неровности (лунки, продольные и поперечные борозды или гребни), так и шероховатости, моделирующей реальную текстуру поверхности.

Публикуемая работа посвящена численному исследованию влияния на распределения давления и зазора в точечном УГД контакте еще одного, весьма характерного, типа неровностей на движущейся поверхности, а именно неровности в виде одиночного бугорка. Также проведены расчеты для неровности типа лунки. Полученные данные для указанных типов неровности, находящейся как на движущейся поверхности контакта, так и неподвижной, сопоставлялись для режимов скольжения и качения. Численное решение нестационарных уравнений, описывающих точечный УГД контакт, осуществлялось методом Ньютона с использованием неявной схемы.

**1. Постановка задачи.** Рассматривается изотермическая задача о сосредоточенном тяжело нагруженном УГД контакте. Подобный смазанный контакт реализуется, например, при качении упругого эллипсоида по поверхности упругого полупространства. Полагается, что на одной из движущихся поверхностей имеется одиночная неровность в виде бугорка или лунки. При этом контактирующие поверхности разделены слоем смазки со свойствами несжимаемой вязкой жидкости. В задаче используются типичные допущения УГД теории смазки [14, 15]. Введем безразмерные переменные

$$(x', y') = \frac{(x, y)}{a_H}, \quad t' = \frac{t}{t_0}, \quad Z = \frac{2a_H}{|v_1 + v_2|t_0}, \quad p' = \frac{p}{p_H}, \quad h' = \frac{h}{h_0(t)}, \quad \mu' = \frac{\mu}{\mu_0}$$

$$H_0(t) = \frac{2R'_x h_0(t)}{a_H^2}, \quad \varepsilon = \frac{R'_x}{R'_y}, \quad \beta = \frac{a_H}{b_H}, \quad \varphi(\beta) = \frac{K(e) - D}{\beta^4 D}$$

$$D = \frac{K(e) - E(e)}{e^2}, \quad e = \sqrt{1 - \beta^2}, \quad V = \frac{24\mu_0 |v_1 + v_2| R_x'^2}{p_H a_H^3}$$

$$\mathbf{v} = \frac{\mathbf{v}_1 + \mathbf{v}_2}{|\mathbf{v}_1 + \mathbf{v}_2|}, \quad v_x = \frac{v_{1x} + v_{2x}}{|\mathbf{v}_1 + \mathbf{v}_2|}, \quad v_y = \frac{v_{1y} + v_{2y}}{|\mathbf{v}_1 + \mathbf{v}_2|}$$

$$d' = \frac{d}{h_0}, \quad A' = \frac{2R'_x A}{a_H^2}, \quad (x'_d, y'_d) = \frac{(x_d, y_d)}{a_H}, \quad (w'_x, w'_y) = \frac{(w_x, w_y)}{a_H}$$

где  $x, y$  – декартовы координаты в плоскости контакта;  $R'_x, R'_y$  – приведенные радиусы кривизны контактирующих тел;  $p$  – давление в смазочной пленке;  $a_H$  и  $b_H$  – полуоси герцевского эллипса контакта ( $a_H \leq b_H$ , полуось  $b_H$  располагается по оси  $y$ );  $t$  – время;  $t_0$  – характерное время процесса;  $Z$  – параметр, характеризующий скорость сближения контактирующих тел;  $e$  – эксцентриситет эллипса контакта;  $p_H$  – максимальное герцевское напряжение;  $h$  – толщина смазочной пленки;  $h_0$  – толщина смазочной пленки в начале координат;  $\mu$  – вязкость смазки;  $\mu_0$  – вязкость смазки при давлении окружающей среды;  $\mathbf{v}_1(v_{1x}, v_{1y}), \mathbf{v}_2(v_{2x}, v_{2y})$  – векторы и компоненты скорости соответственно верхней и нижней контактирующих поверхностей;  $H_0$  – безразмерная толщина пленки в начале координат;  $V$  – нагрузочно-скоростной параметр;  $K(e)$  и  $E(e)$  – полные эллиптические интегралы первого и второго рода; постоянная  $\beta$  определяется из уравнения  $\beta^2 \phi(\beta) = R'_y / R'_x$ ,  $d$  – функция, описывающая поверхность неровности;  $A$  – амплитуда неровности;  $w_x$  и  $w_y$  – длины волн неровности в направлении осей  $x$  и  $y$  соответственно;  $x_d, y_d$  – координаты центра неровности.

Для описания формы одиночной неровности типа "бугорка" или "лунки", расположенной на движущейся поверхности контакта, используется следующая функция (в безразмерном виде, далее штрихи опущены):

$$d(x, y, t) = \frac{A}{H_0} F(x, y, t) \quad (1.1)$$

$$F(x, y, t) = 10^{-10 \left( \left( \frac{x-x_d}{w_x} \right)^2 + \left( \frac{y-y_d}{w_y} \right)^2 \right)} \cos \left( 2\pi \frac{x-x_d}{w_x} \right) \cos \left( 2\pi \frac{y-y_d}{w_y} \right)$$

Функция  $F(x, y, t)$  в (1.1) обобщает на пространственный случай выражение, использованное в [16] для численного анализа влияния одиночной неровности в линейном контакте, и более реалистично описывает форму неровности, чем обычная гармоника, поскольку учитывает образование буртика по краю неровности при вдавлении индентора в материал, обеспечивая при этом гладкое сопряжение с поверхностью контакта.

Далее рассматривается случай, когда неровность расположена на верхней поверхности контакта, имеющей скорость  $\mathbf{v}_1(v_{1x}, 0)$ . Нижняя поверхность при этом полагается гладкой и имеет скорость  $\mathbf{v}_2(v_{2x}, 0)$ . Изменение во времени координаты центра неровности подчиняется зависимости (в размерном виде)  $x_d(t) = x_{d,0} + v_{1x}t$ , где  $x_{d,0}$  – координата центра неровности в начальный момент времени. В безразмерном виде зависимость  $x_d(t)$  записывается следующим образом

$$x_d(t) = x_{d,0} + \frac{2v_{1x}}{|v_{1x} + v_{2x}|} \frac{t}{Z}$$

Определяя относительный вектор скольжения как  $\mathbf{s}(s_x, s_y) = 2(\mathbf{v}_1 - \mathbf{v}_2) / |\mathbf{v}_1 + \mathbf{v}_2|$ , выражение для  $x_d(t)$  можно представить также в следующей форме:

$$x_d(t) = x_d(0) + (s_x / 2 + 1)t / Z \quad (1.2)$$

При качении без скольжения  $s_x = 0$ , в случае скольжения без качения  $s_x = 2$ .

Уравнения рассматриваемой УГД задачи имеют в безразмерных переменных следующий вид

$$L(p) = \nabla \cdot \left( H_0^2 \frac{h^3}{\mu} \nabla p - Vvh \right) - VZ \frac{\partial h}{\partial t} - VZ \frac{h}{H_0} \frac{\partial H_0}{\partial t} = 0 \quad (1.3)$$

$$h(x, y, t) = 1 + \frac{x^2 + \varepsilon y^2}{H_0(t)} + \frac{\varepsilon}{\pi \beta^2 D H_0(t)} \iint_{\Omega} G(x, y, \xi, \eta) p(\xi, \eta, t) d\xi d\eta + d(x, y, t) - d(0, 0, t) \quad (1.4)$$

$$\iint_{\Omega} p(\xi, \eta, t) d\xi d\eta = \frac{2\pi}{3\beta} \quad (1.5)$$

$$p(x, y, 0) = p^0(x, y), \quad H_0(0) = H_0^0, \quad p|_C = 0 \quad (1.6)$$

$$\nabla = \left( \frac{\partial}{\partial x}, \frac{\partial}{\partial y} \right), \quad \mathbf{v} = (v_x, v_y), \quad G(x, y, \xi, \eta) = \frac{1}{\sqrt{(x - \xi)^2 + (y - \eta)^2}} - \frac{1}{\sqrt{\xi^2 + \eta^2}}$$

где  $C$  – граница области контакта  $\Omega$ ,  $G(x, y, \xi, \eta)$  – функция влияния,  $p^0(x, y)$ ,  $H_0^0$  – численное решение стационарной задачи.

Система (1.3)–(1.6) является нелинейной интегро-дифференциальной системой, состоящей из уравнения Рейнольдса (1.3), соотношения для толщины смазочной пленки между упругими телами (1.4), условия равенства внешней нагрузки интегралу от давления по области контакта (1.5), начально-краевых условий для давления и толщины смазочной пленки в центре контакта (1.6).

Из соотношения (1.4) после дифференцирования по  $t$  следует

$$\begin{aligned} \frac{\partial h}{\partial t} = & -\frac{h-1}{H_0} \frac{\partial H_0}{\partial t} + \frac{\varepsilon}{\pi \beta^2 D H_0} \frac{\partial}{\partial t} \iint_{\Omega} G(x, y, \xi, \eta) p(\xi, \eta, t) d\xi d\eta + \\ & + \frac{d(x, y, t) - d(0, 0, t)}{H_0} + \frac{\partial H_0}{\partial t} + \frac{\partial}{\partial t} (d(x, y, t) - d(0, 0, t)) \end{aligned} \quad (1.7)$$

С учетом (1.1) и (1.7) уравнение (1.3) примет следующий вид:

$$\begin{aligned} L(p) = \nabla \cdot \left( H_0^3 \frac{h^3}{\mu} \nabla p - H_0 Vvh \right) - & \\ - VZ \frac{\partial H_0}{\partial t} - VZ \frac{\varepsilon}{\pi \beta^2 D} \frac{\partial}{\partial t} \iint_{\Omega} G(x, y, \xi, \eta) p(\xi, \eta, t) d\xi d\eta - & \\ - VZA \frac{\partial}{\partial t} (F(x, y, t) - F(0, 0, t)) & \end{aligned} \quad (1.8)$$

Для определения местоположения выходной (свободной) границы, отделяющей зону смазки от зоны кавитации, используются условия дополненности [17, 18], согласно которым

$$L(p) = 0, \quad p > 0; \quad L(p) < 0, \quad p = 0 \quad (1.9)$$

В системе уравнений (1.3)–(1.6) заданными считаются геометрия входной границы смазочной пленки, нагрузочно-скоростной параметр  $V$  (для тяжело нагруженного контакта  $V \ll 1$ ), компоненты вектора скорости  $\mathbf{v}(v_x, v_y)$ , параметр  $\varepsilon = R'_x / R'_y$ , зависимость  $\mu(p)$ , амплитуда  $A$  и длины волн  $w_x, w_y$  в выражении для неровности (1.1). В расчетах использовалась предложенная Барусом зависимость  $\mu = \mu_0 \exp(Qp)$ , где  $Q$  – пьезокоэффициент вязкости.

Решением системы (1.3)–(1.9) являются распределения давления  $p(x, y, t)$  и толщины смазочной пленки  $h(x, y, t)$ , выходная граница  $x_e(y, t)$ , безразмерная толщина слоя смазки в начале координат  $H_0(t)$ .

**2. Численный метод решения.** Исследуемая область контакта в плоскости  $(x, y)$  задается в виде прямоугольника  $\Omega = [x_1, x_2] \times [y_1, y_2]$ . Заметной переменных  $x(x^*)$ ,  $y(y^*)$  вводится неравномерная декартова сетка со сгущением внутри области  $\Omega$ . Вычислительная область  $\Omega^*$ , на которую отображается  $\Omega$ , покрывается в плоскости  $(x^*, y^*)$  равномерной разнесенной сеткой с двумя системами узлов:  $x_i^* (i = 0, \dots, NX + 1)$ ,  $x_{i-1/2}^* = (x_i^* + x_{i-1}^*)/2 (i = 1, \dots, NX + 1)$  и  $y_j^* (j = 0, \dots, NY + 1)$ ,  $y_{j-1/2}^* = (y_j^* + y_{j-1}^*)/2 (j = 1, \dots, NY + 1)$ . Давление определяется в узлах  $(x_i^*, y_j^*)$ , а толщина смазочной пленки – в узлах  $(x_{i-1/2}^*, y_{j-1/2}^*)$ . Согласно отображению  $x(x^*)$ ,  $y(y^*)$  в области  $\Omega$  неравномерной сетке соответствуют системы узлов  $(x_i, y_j)$ ,  $(x_{i-1/2}, y_{j-1/2})$ .

После интегрирования уравнения (1.8) по области  $\Delta\Omega_{ij}$ , занимаемой расчетной ячейкой  $(i, j)$  внутри контура  $(l)$ , получаем

$$L_1(p) = \int_{(l)} \left[ H_0^3 \frac{h^3}{\mu} (\nabla p \cdot \mathbf{n}) - H_0 V(\mathbf{v} \cdot \mathbf{n}) h \right] dl - \quad (2.1)$$

$$- VZ \left[ \frac{\partial H_0}{\partial t} + \frac{\varepsilon}{\pi \beta^2 D} \frac{\partial}{\partial t} \iint_{\Omega} G(x, y, \xi, \eta) p(\xi, \eta, t) d\xi d\eta + \right.$$

$$\left. + A \frac{\partial}{\partial t} (F(x, y, t) - F(0, 0, t)) \right] \Delta\Omega_{ij} = 0$$

где  $\mathbf{n}$  – единичный вектор внешней нормали. В условиях дополнителности (см. (1.9)) оператор  $L(p)$  заменяется на  $L_1(p)$ .

Решение системы нестационарных УГД уравнений проводится методом Ньютона с использованием неявной схемы. Линеаризованные на временном шаге  $n + 1$  около решения  $(p(x, y, t^{n+1}), H_0(t^{n+1}))_k^{n+1}$  уравнения (2.1), (1.5), (1.6) имеют вид

$$\int_{(l)} \left\{ \left[ 3H_0^2 \frac{h^3}{\mu} \frac{\partial p}{\partial n} - H_0 V(\mathbf{v} \cdot \mathbf{n}) \frac{\partial h}{\partial H_0} + H_0^3 \frac{3h^2}{\mu} \frac{\partial p}{\partial n} \frac{\partial h}{\partial H_0} - V(\mathbf{v} \cdot \mathbf{n}) h \right]_k^{n+1} \Delta H_{0,k+1}^{n+1} - \right.$$

$$\left. - \left( H_0^3 \frac{h^3}{\mu^2} \frac{\partial \mu}{\partial p} \frac{\partial p}{\partial n} \right)_k^{n+1} \Delta p_{k+1}^{n+1} + \left( H_0^3 \frac{3h^2}{\mu} \frac{\partial p}{\partial n} \frac{\partial h}{\partial p} \right)_k^{n+1} \Delta p_{k+1}^{n+1} + \left( H_0^3 \frac{h^3}{\mu} \right)_k^{n+1} \frac{\partial \Delta p_{k+1}^{n+1}}{\partial n} - \right.$$

$$\left. - \left[ H_0 V(\mathbf{v} \cdot \mathbf{n}) \frac{\partial h}{\partial p} \right]_k^{n+1} \Delta p_{k+1}^{n+1} \right\} dl - VZ \left[ \Delta H_{0,k+1}^{n+1} + \frac{\varepsilon}{\pi \beta^2 D} \iint_{\Omega_k^{n+1}} G \Delta p_{k+1}^{n+1} d\xi d\eta \right] \frac{\Delta\Omega_{ij}}{\Delta t} =$$

$$= - \int_{(l)} \left\{ \left( H_0^3 \frac{h^3}{\mu} \frac{\partial p}{\partial n} \right)_k^{n+1} - [H_0 V(\mathbf{v} \cdot \mathbf{n}) h]_k^{n+1} \right\} dl +$$

$$+ VZ \left[ (H_{0,k}^{n+1} - H_0^n) + \frac{\varepsilon}{\pi \beta^2 D} \left( \iint_{\Omega_k^{n+1}} G p_k^{n+1} d\xi d\eta - \iint_{\Omega^n} G p^n d\xi d\eta \right) + \right.$$

$$\left. + A (F(x, y, t^{n+1}) - F(0, 0, t^{n+1})) - (F(x, y, t^n) - F(0, 0, t^n)) \right] \frac{\Delta\Omega_{ij}}{\Delta t} \quad (2.2)$$

$$\iint_{\Omega_k^{n+1}} \Delta p_{k+1}^{n+1}(\xi, \eta, t^{n+1}) d\xi d\eta = \frac{2\pi}{3\beta} - \iint_{\Omega_k^{n+1}} p_k^{n+1}(\xi, \eta, t^{n+1}) d\xi d\eta \quad (2.3)$$

$$\Delta p_{k+1}^{n+1} \Big|_C = 0 \quad (2.4)$$

В уравнениях (2.2)–(2.4)  $n$  – номер шага по времени,  $k$  – номер итерации на текущем временном шаге,  $\Delta p_{k+1}^{n+1} = p_{k+1}^{n+1} - p_k^{n+1}$ ,  $\Delta H_{k+1}^{n+1} = H_{k+1}^{n+1} - H_k^{n+1}$ ,  $\partial h / \partial H_0$  – частная производная от  $h$  по  $H_0$ , вычисляемая по соотношению (1.4);  $\partial \mu / \partial p$  – частная производная от  $\mu$  по  $p$ , вычисляемая по зависимости  $\mu(p)$ ;  $\partial h / \partial p$  – линейный оператор, представляющий собой производную  $h_k^{n+1}$  по  $p_k^{n+1}$  (производная Фреше) и действующий на  $\Delta p_{k+1}^{n+1}$ , имеет вид

$$\left( \frac{\partial h}{\partial p} \right)_k^{n+1} \Delta p_{k+1}^{n+1} = \frac{\varepsilon}{\pi \beta^2 D H_{0,k}^{n+1}} \iint_{\Omega_k^{n+1}} G(x, y, \xi, \eta) \Delta p_{k+1}^{n+1}(x, y, t^{n+1}) d\xi d\eta \quad (2.5)$$

Система (2.2)–(2.4) является исходной для построения конечно-разностной схемы. Интеграл в выражениях (1.4), (2.5) вычисляется по кубатурной формуле, применяемой при вычислении сингулярных интегралов [19]

$$\begin{aligned} & \iint_{\Omega} \left( \frac{1}{\sqrt{(\xi - x_{m-1/2})^2 + (\eta - y_{n-1/2})^2}} - \frac{1}{\sqrt{\xi^2 + \eta^2}} \right) p(\xi, \eta, t) d\xi d\eta \equiv \\ & \equiv \sum_{j=1}^{NY} \sum_{i=i1(j)}^{i2(j)} \left( \frac{1}{\sqrt{(x_i - x_{m-1/2})^2 + (y_j - y_{n-1/2})^2}} - \frac{1}{\sqrt{(x_i - x_{m0-1/2})^2 + (y_j - y_{n0-1/2})^2}} \right) \times \\ & \times p(x_i, y_j, t_{n+1}) (x_{i+1/2} - x_{i-1/2}) (y_{j+1/2} - y_{j-1/2}) \end{aligned} \quad (2.6)$$

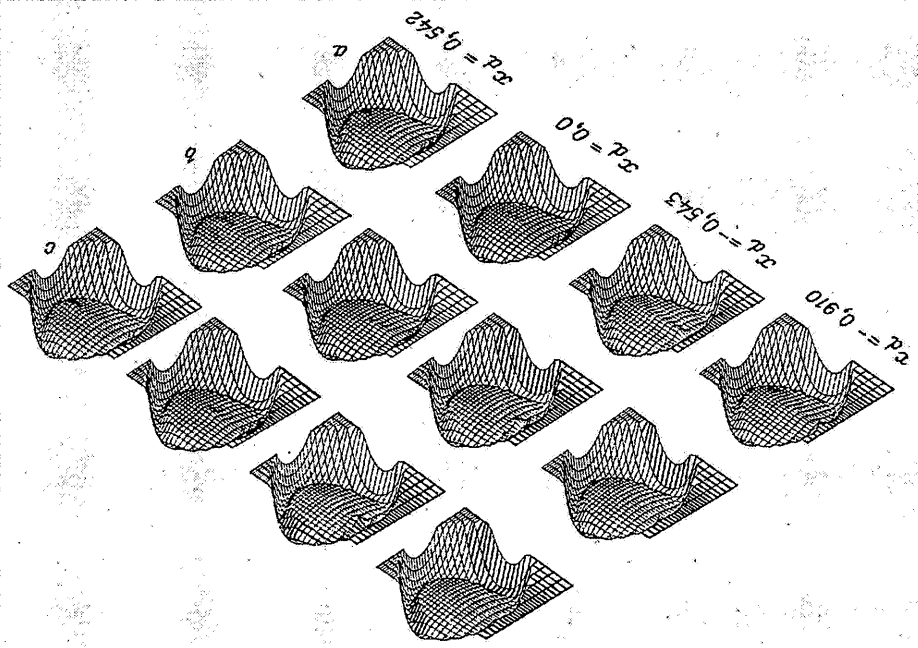
где  $i1(j)$ ,  $i2(j)$  – целочисленные массивы, описывающие расположение соответственно входной и выходной границ:  $n = 1, \dots, NX + 1$ ,  $n = 1, \dots, NY + 1$ . Массив  $i2(j)$  определяется, исходя из условий дополнителности (1.9), на каждой итерации. Узел  $(m0-1/2, n0-1/2)$  соответствует началу координат.

На временном шаге  $n + 1$  одна итерация по методу Ньютона состоит в решении конечно-разностного аналога уравнений (2.2)–(2.4) относительно  $\Delta p_{k+1}^{n+1}$  и  $\Delta H_{0,k+1}^{n+1}$  методом гауссова исключения с частичным выбором ведущего элемента. После этого восстанавливаются значения  $H_{0,k+1}^{n+1} = H_{0,k}^{n+1} + \Delta H_{0,k+1}^{n+1}$ ,  $p_{k+1}^{n+1} = p_k^{n+1} + \Delta p_{k+1}^{n+1}$ , и с учетом кубатурной формулы (2.6) вычисляется  $h_{k+1}^{n+1}(x_{i-1/2}, y_{j-1/2})$ . Затем определяется выходная граница согласно условиям дополнителности. Итерационный процесс продолжается до достижения требуемой относительной точности решения  $\delta$ , т.е.  $\max \left( \left| H_{0,k+1}^{n+1} / H_{0,k}^{n+1} - 1 \right|, \left| p_{k+1}^{n+1} / p_k^{n+1} - 1 \right|, \left| h_{k+1}^{n+1} / h_k^{n+1} - 1 \right|, \left| x_{e,k+1}^{n+1} / x_{e,k}^{n+1} - 1 \right| \right) < \delta$ . После выполнения заданных условий по точности решения, осуществляется переход на новый шаг по времени.

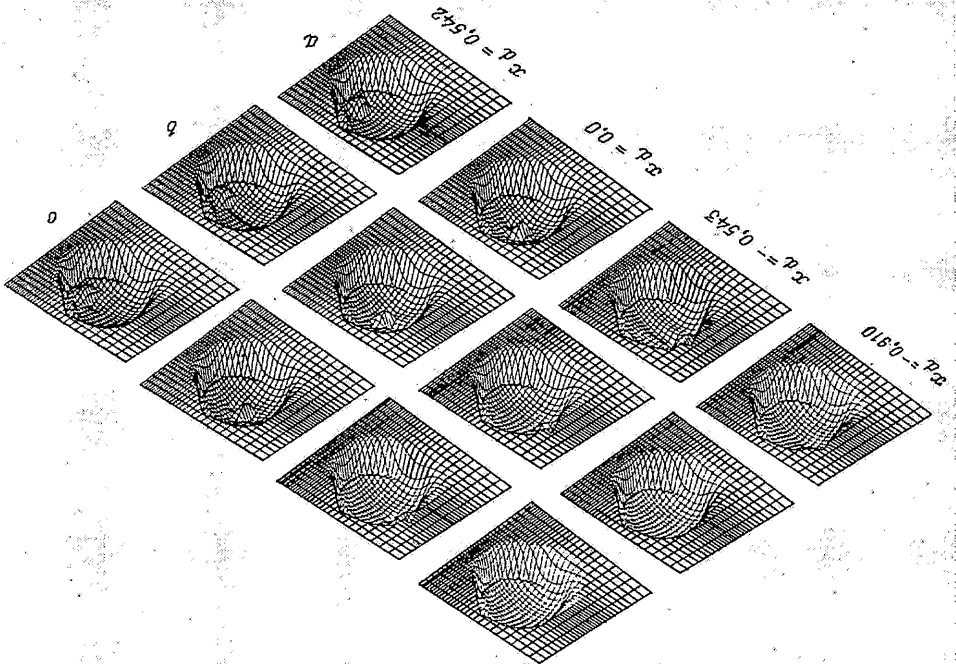
**3. Результаты расчетов.** Изложенный выше вычислительный алгоритм был применен для расчета тяжело нагруженного точечного УГД контакта упругого сферического тела, на поверхности которого имеется неровность, с упругим полупространством при наличии в контакте смазочной пленки со свойствами несжимаемой вязкой жидкости. Для этого случая  $\varepsilon = 1$ ,  $\beta = 1$ ,  $D = \pi/4$ ,  $\nu_x = 1$ ,  $\nu_y = 0$ .

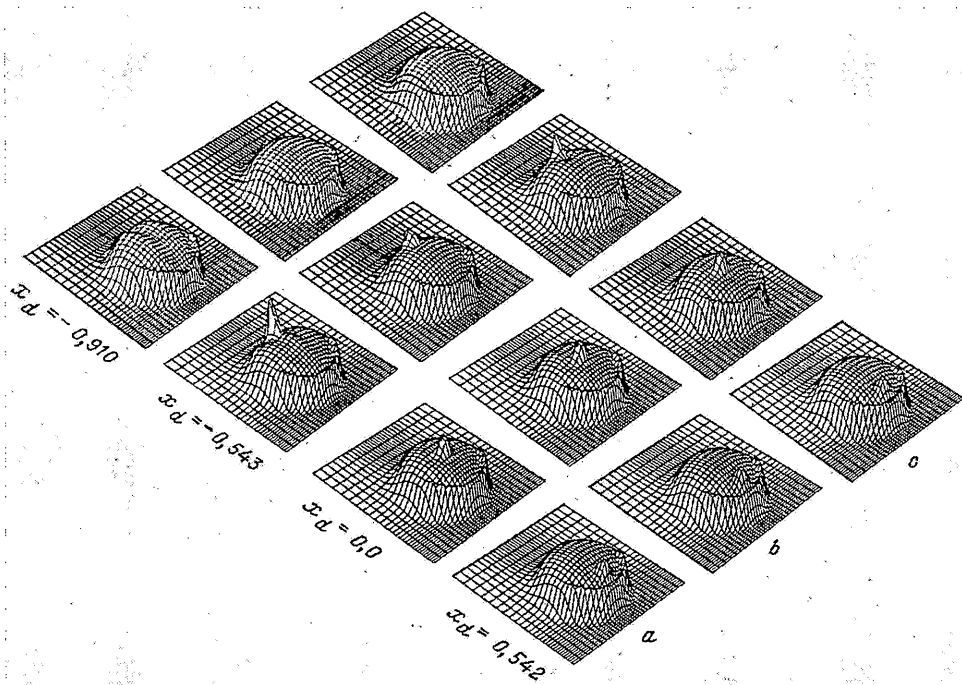
Влияние одиночных неровностей поверхности на параметры УГД контакта изучалось для ситуаций, когда неровность движется в зоне контакта либо в условиях

Фиг. 2

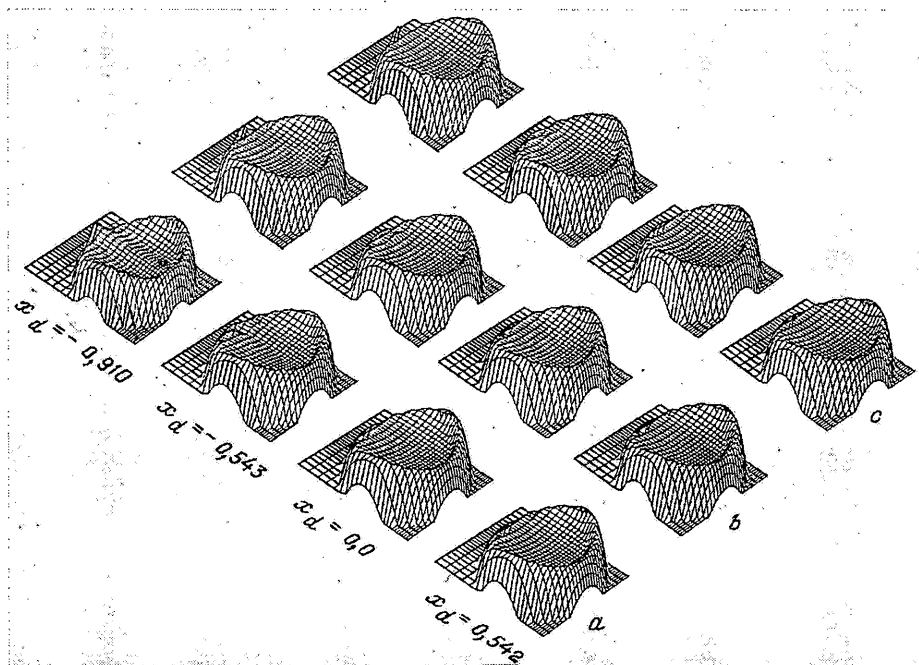


Фиг. 1





Фиг. 3



Фиг. 4

чистого скольжения, либо в условиях чистого качения. Рассматривался также случай, когда положение неровности в зоне контакта фиксировано. В этом случае упругий шар, на поверхности которого находится неровность, неподвижен, а контактирующая с ним гладкая поверхность движется. Здесь имеет место чистое скольжение в стационарных условиях.

Расчеты проводились с относительной точностью  $\delta = 0,001$  на сгущающейся в окрестности выходной границы сетке с числом узлов  $30 \times 30$  при следующих параметрах:  $V = 0,1$ ;  $Q = 5$ ;  $Z = 1$ ;  $w_x = w_y = 1$ ;  $A = \pm 0,06$  (для бугорка  $A < 0$ , для лунки  $A > 0$ ).

В качестве начального условия использовалось решение стационарной задачи для гладких поверхностей контакта при указанных выше параметрах. При этом центр неровности на первом шаге по времени (в момент  $t = \Delta t$ ) располагался в точке  $x_{d,0} < -1$ ,  $y_{d,0} = 0$ . Шаги по времени  $\Delta t$  определялись таким образом, чтобы центр неровности по мере его прохождения через зону контакта совпадал с узлами сетки, т.е.

$$\Delta t_i = \frac{(x_d(t_i) - x_d(t_{i-1}))Z}{(s_x / 2 + 1)} = \frac{(x_{i+1/2} - x_{i-1/2})Z}{(s_x / 2 + 1)}$$

Это соотношение следует из (1.2). Для всех значений  $\Delta t$  вычислительный процесс был устойчивым.

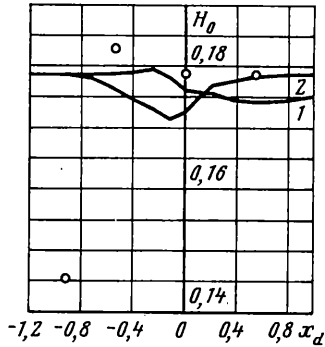
На фиг. 1–4 представлены результаты решения задачи об УГД контакте в виде распределений давления и зазора для нескольких характерных координат расположения центра неровности в процессе движения: во входной зоне, в центре контакта, в выходной зоне. Распределения зазора для наглядности представлены в виде функции  $-h(x, y)$  не во всей расчетной области, как это сделано для давления, а только в пределах герцевского контакта.

Общим для распределений, представленных на фиг. 1, 2, является уменьшение давления и увеличение зазора в месте расположения лунки. При этом влияние углубления проявляется в области контакта различным образом в зависимости от местоположения лунки и кинематических условий. Можно отметить следующие особенности. Неподвижная лунка, расположенная во входной зоне или в центре контакта, возмущает распределения вниз по потоку (см. фиг. 1,(a) и 2,(a)). В случае скольжения движущейся лунки (см. фиг. 1,(b) и 2,(b)) наблюдается иная тенденция – возмущение распространяется вверх по потоку. При движении лунки в условиях чистого качения (см. фиг. 1,(c) и 2,(c)) возмущение локализуется в местах нахождения лунки.

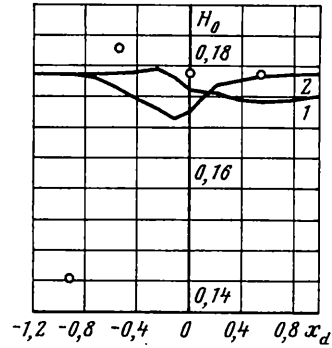
Влияние бугорка на поверхности, как и в случае с лункой, проявляется различным образом в зависимости от его местоположения и кинематических условий (см. фиг. 3, 4). В условиях стационарного скольжения (см. фиг. 3,(a) и 4,(a)) бугорок, расположенный во входной зоне, возмущает распределения давления и зазора вниз по потоку. В центре контакта и в выходной зоне для этих же условий наблюдается локальное увеличение давления и практически полное смятие бугорка. Во входной зоне движение бугорка в условиях как скольжения (см. фиг. 3,(b) и 4,(b)), так и качения (см. фиг. 3,(c) и 4,(c)) вызывает локальное увеличение давления и уменьшение зазора. Движущийся в центре контакта и в выходной зоне бугорок в условиях скольжения практически сминается. В условиях же качения смятие бугорка в этой зоне менее заметно.

Отмеченные выше особенности распределения зазора иллюстрируются также фиг. 5, 6, на которых показано влияние на толщину смазочной пленки в центре контакта  $H_0$  местоположения центра неровности и кинематических условий. Так, на фиг. 5 при фиксированном местоположении лунки (см. значения  $H_0$ , отмеченные светлыми точками) во входной зоне и в центре контакта толщина пленки  $H_0$  больше, чем  $H_0$  в случае скольжения гладких тел (для гладких поверхностей  $H_0 = 0,1786$ ). Когда лунка расположена в выходной зоне, толщина  $H_0$  практически равна толщине





Фиг. 5



Фиг. 6

$H_0$  для гладких поверхностей. Толщина  $H_0$  в случае движения лунки в условиях скольжения (см. фиг. 5, кривая 1) достигает наибольшего значения, когда центр лунки совпадает с центром контакта. При этом переход лунки из входной зоны в выходную сопровождается резким увеличением  $H_0$  от значений, близких к значениям  $H_0$  для гладких поверхностей, к значениям, слабо изменяющимся в пределах выходной зоны. Для случая движения лунки в условиях качения шара зависимость  $H_0(x_d)$  близка к симметричной (см. фиг. 5, кривая 2): зависимость  $H_0(x_d)$  достигает максимума, когда центр лунки проходит через центр контакта, а в окрестностях входной и выходной границ значения  $H_0(x_d)$  практически равны значениям  $H_0$  для гладких тел.

В режиме скольжения расположенный во входной зоне неподвижный бугорок, как и в случае с лункой, заметно влияет на значения  $H_0$  (см. на фиг. 6 значения, помеченные светлыми точками). Причем бугорок в окрестности входной границы вызывает значительное сужение зазора в центре контакта, а в средней части входной зоны ( $x_d = -0,543$ ) – даже некоторое увеличение. Бугорок, расположенный в центре контакта и в выходной зоне, практически смят, и соответственно значения  $H_0$  приближаются к значению  $H_0$  для гладких поверхностей. Закономерности зависимости  $H_0(x_d)$  в случае движущегося бугорка в условиях скольжения (см. фиг. 6, кривая 1) или качения шара (см. фиг. 6, кривая 2) противоположны закономерностям  $H_0(x_d)$ , проявляющимся при скольжении или качении шара с лункой. Однако диапазон изменений  $H_0$  из-за деформации бугорка значительно уже, чем в случае движения лунки.

Наблюдаемые на фиг. 1–6 закономерности подтверждаются качественно результатами экспериментальных исследований [1–5].

#### СПИСОК ЛИТЕРАТУРЫ

1. Wedeven L.D. Influence of debris dent on EHD lubrication // ASLE Trans. 1978. V. 21. No. 1. P. 41–52.
2. Wedeven L.D., Cusano C. Elastohydrodynamic film thickness measurements of artificially produced surface dents and grooves // ASLE Trans. 1979. V. 22. No. 4. P. 369–381.
3. Cusano C., Wedeven L.D. The effects of artificially-produced defects on the film thickness distribution in sliding EHD point contacts // Trans. ASME J. Tribol. 1982. V. 104. No. 3. P. 365–375.
4. Kaneta M., Sakai T., Nishikawa H. Optical interferometric observations of the effects of a bump on point contact EHL // Trans. ASME J. Tribol. 1992. V. 114. No. 4. P. 779–784.
5. Kaneta M., Kanada T., Nishikawa H. Optical interferometric observations of the effects of a moving dent on point contact EHL // Proc. of the 23th Leeds-Lyon Symp. on Tribol. 1996. P. 69–79.
6. Lubrecht A.A., Ten Napel W.E., Bosma R. The influence of longitudinal and transverse roughness on the elastohydrodynamic lubrication of circular contacts // Trans. ASME. J. Tribol. 1988. V. 110. No. 3. P. 421–426.

7. *Kweh C.C., Evans H.P., Snidle R.W.* Micro-elastohydrodynamic lubrication of an elliptical contact with transverse and three-dimensional sinusoidal roughness // *Trans. ASME. J. Tribol.* 1989. V. 111. No. 4. P. 577–584.
8. *Kweh C.C., Patching M.J., Evans H.P., Snidle R.W.* Simulation of elastohydrodynamic contacts between rough surface // *Trans. ASME. J. Tribol.* 1992. V. 114. No. 3. P. 412–419.
9. *Venner C.H., Lubrecht A.A.* Numerical analysis of the influence of waviness on the film thickness of a circular EHL contact // *Trans. ASME. J. Tribol.* 1996. V. 118. No. 1. P. 153–161.
10. *Ai X., Cheng H.S.* The effects of surface texture on EHL point contacts // *Trans. ASME. J. Tribol.* 1996. V. 118. No. 1. P. 59–66.
11. *Xu G., Sadeghi F.* Thermal EHL analysis of circular contacts with measured surface roughness // *Trans. ASME. J. Tribol.* 1996. V. 118. No. 3. P. 473–483.
12. *Lubrecht A.A.* Influence of local and global features in EHL contacts // *Proc. of 23th Leeds–Lyon Symp. on Tribol.* 1996. P. 17–25.
13. *Ehret P., Dowson D., Taylor C.M.* Time-dependent solutions with waviness and asperities in EHL point contacts // *Proc. of 23th Leeds–Lyon Symp. on Tribol.* 1996. P. 313–324.
14. *Dowson D., Higginson G.R.* *Elasto-hydrodynamic lubrication.* N.Y.: Pergamon press, 1966. 235 p.
15. *Галахов М.А., Гусятников П.Б., Новиков А.П.* Математические модели контактной гидродинамики. М.: Наука, 1985. 294 с.
16. *Venner C.H., Lubrecht A.A., Ten Napel W.E.* Numerical simulation of the overrolling of a surface feature in an EHL line contact // *Trans. ASME. J. Tribol.* 1991. V. 113. No 4. P. 777–783.
17. *Oh K.P.* The numerical solution of dynamically loaded elastohydrodynamic contact as a nonlinear complementarity problem // *Trans. ASME. J. Tribol.* 1984. V. 106. No. 1. P. 88–95.
18. *Kostreva M.M.* Elastohydrodynamic lubrication: a nonlinear complementarity problem // *Intern. J. Numer. Methods in Fluids.* 1984. V. 4. No. 4. P. 377–397.
19. *Белоцерковский С.М., Лифанов И.К.* Численные методы в сингулярных интегральных уравнениях и их применение в аэродинамике, теории упругости, электродинамике. М.: Наука, 1985. 253 с.

Москва

Поступила в редакцию  
13.02.1998